

c_0	— východisková koncentrácia sledovaného lónu v roztoku mg l^{-1}
DSO	— diferenčná scanning kalorimetria
ESM	— elektrónová scanning mikroskopie
I	— iónová síla roztoku [$\mu\text{mol l}^{-1}$]
K	— rychlosť konverzie
M^{\pm}	— dvojimocný kation kovu
n	— koncentrácia eluovaných lónov NH_4^+ pri reakcií 2. pořadku [$\mu\text{mol l}^{-1}$]
n_0	— maximální koncentrácia eluovaných lónov NH_4^+ pri reakcií 2. pořadku [$\mu\text{mol l}^{-1}$]
α	— stupeň výmeny lónov

Izokonverzní faktory pyrolyzy

Jan Bartoš,

Chemopetrol, k. ú. o. Výzkumný ústav anorganické chemie, Ústí nad Labem

665.642

Redaktek došlo 20. 10. 1987

V práci je navržen způsob výpočtu izokonverzních faktorů pyrolyzy jako hodnoty charakterizující citlivost změny konverze pyrolyzy na změnu parametrů pyrolyzující reakce. U průmyslové pyrolyzající pece jsou rozhodujícími parametry ovlivňujícími konverzi pyrolyzované suroviny selektivita reakce poměr hmotnostních průtoků procesní páry k uhlíkovidkám, teplota na výstupu z trubky pyrolyzající pece a nástřik uhlíkovidků do pyrolyzající pece.

Úvod

V předložené práci je navrženo stanovení izokonverzních faktorů pyrolyzy (IFP), které umožňuje rychle zjistit požadované změny parametrů pyrolyzající reakce pro zachování stejně konverze pyrolyzovaných uhlíkovidků, a tím i selektivitu reakce. Využitím hodnot IFP v praxi se může dosáhnout energetických úspor při pyrolyze i zvýšení výtěžku žádaných produktů pyrolyzy.

Rozbor problému

Definujme konverzi benzínu x vztahem

$$x = (m_1 - m_0)/m_1 \quad (1)$$

Výtěžek žádaného produktu y_1 se vypočte ze vztahu

$$y_1 = m_2 S_j \quad (2)$$

kde

$$S_j = x_j / \Sigma x_j \quad (3)$$

Selektivita pyrolyzy S_j závisí podle práce¹ zejména na stupni konverze benzínu a podle práce² navíc i na parciálním tlaku uhlíkovidků ve směsi s procesní párou a na celkovém tlaku směsi při pyrolyze. Práce¹ také uvádí, že při popisu kinetiky pyrolyzy uhlíkovidkův směsi vyhovuje předpoklad reakce prvního řádu.

Pyrolyza probíhá v trubkovém reaktoru, podél jehož délky se mění teplota a tlak reakce. Definujme tedy okolíkovní objem (trubek) reaktoru V_E , který odpovídá skutečnému objemu trubkového reaktoru V_0 za předpokladu konstantní teploty a konstantního tlaku v trubce, a to střední hodnoty tlaku p_0 a střední hodnoty teploty T v reálném trubkovém reaktoru o objemu V_0 . Pro reakci prvého řádu platí (podle³) pro V_E :

Izokonverzní faktory

- Petersen R.: Env., Sci. Technol. 16, 8, 443 (1983). — 2. Horváthová E.: Pisomná práca k aspir. ministru (1981). — 3. Pitter P.: Hydrochemie, SNTL, Praha 1981. — 4. Mudrack K.: 15. Essener Tagung um 1982, 12. 1982 (1982). — 5. Horváthová E., Kuchařák S.: Vod. hosp. 1, 8 (1987). — 6. Kozáč J.: Slovezo 84, 12 (1984). — 7. Blanchard G., Maunay M., Martin G.: Water Res. 18, 12, 1561 (1984). — 8. Zváč M.: Diplomová práca (1986). — 9. Scherman J. D.: Ion exchange separations with molecular sieve zeolites, 33rd Nat. Meet. Amer. Inst. Chem. Eng., Houston, Texas, 29.—24. 3. 1977.

$$V_E = \int_0^{V_0} \frac{p_0 T_R}{T p_R} \exp \left[-\frac{E}{R} \left(\frac{1}{T} - \frac{1}{T_R} \right) \right] dV \quad (4)$$

Numerická hodnota V_E závisí na p_R , T_R a E a na teplotním a tlakovém profilu trubkového reaktoru. Pro $p_t = p_R$ a $T = T_R$ platí $V_E = V_0$.

V práci¹ je ukázáno, že pro daný poměr benzínu a procesní páry a dané složení benzínu lze nalézt jedinou závislost konverze benzínu na poměr V_E/F (tzv. ekvivalentní časoprostorový parametr).

U průmyslové pyrolyzající peci lze příběh pyrolyzy ovlivňovat zejména:

- topotou na výstupu z pyrolyzající trubky pece (tzv. vlastenský) T_{COT} ,
- hmotnostní poměr průtoků procesní páry a uhlíkovidků,
- změnu průtoku uhlíkovidků do pece.

Změnu těchto tří technologických parametrů se mění teplotní a tlakový profil podél trubky pyrolyzající pece, doba zdržení reakční směsi v trubce, a tím i selektivita reakce, konverze reakce. Práce³ popisuje úspěšnou korelace mezi výtěžkem produktů pyrolyzy y a teplotou na výstupu z trubky pyrolyzající pece T_{COT} , dobu zdržení reakční směsi v trubce Θ , parciálním tlakem uhlíkovidků na výstupu z trubky P_{COT} , výtěžkem methanu a tlakovou ztrátou v trubce Δp :

$$y = a + b T_{COT} + c \Theta + d P_{COT} + e y_{CH_4} + f \Delta p + g(y_{CH_4} - h)^2 \quad (5)$$

Měřením na průmyslových pyrolyzajících pecích byly nařezeny regresní vztahy pro výpočet výtěžků produktů pyrolyzy¹. Pro výtěžek ethylenu y_{CH_4} platí

$$\begin{aligned} y_{CH_4} &= 182,57 - 0,52112 T_{COT} \cdot \vdash \\ &+ 0,000388 T_{COT}^2 + 2,844 \cdot 10^{-4} m_1 \cdot \vdash \\ &+ 4,777 S/O + 329,277 M \end{aligned} \quad (6)$$

kde S/O je hmotnostní poměr procesní páry a uhlíkovidků. Výtěžky ostatních produktů pyrolyzy se podle práce¹ počítají jako funkce výtěžků ethylenu, tj. predpokládá se, že selektivita pyrolyzy je výhradně funkci konverze uhlíkovidků na ethylen.

Izokonverzní faktory

Při průmyslové pyrolyzající pece směs uhlíkovidků, jako je benzín, má značný význam stanovení citlivosti konverze benzínu na změnu technologických parametrů pyrolyzající pece. Předpokládáme, že konverze benzínu má rozhodující vliv na výtěžek produktů pyrolyzy. Vztah (4) nabízí zajímavou možnost stanovení izokonverzních

faktorů pyrolyzy jako veličin určujících, o kolik se musí změnit jeden parametr pyrolyzí pece při změně druhého parametru, jestliže zbylé parametry pyrolyzí pece zůstanou konstantní. Ze závislosti

$$x = f(V_E/F) \quad (7)$$

zřejmě plynou

$$V_E^{(1)}/F^{(1)} = V_E^{(2)}/F^{(2)} x = \text{konst} \quad (8)$$

kde indexy (1), (2) značí dva různé stav v pyrolyzí pece, při nichž je však totičný ekvivalentní časoprostorový parametr V_E/F .

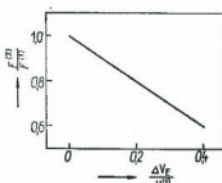
Vyvolá-li změna teplotního a tlakového profilu v trubce pyrolyzí pece změnu $V_E^{(1)}$ na $V_E^{(2)}$, přičemž

$$\Delta V_E = V_E^{(2)} - V_E^{(1)} \quad (9)$$

získáme dosazením z (9) do (8)

$$F^{(2)} = \left(1 - \frac{\Delta V_E}{V_E^{(1)}} \right) F^{(1)} \quad (10)$$

Ze vztahu (10) plynne, že změna ekvivalentního objemu reaktoru způsobená změnou teplotního a tlakového profilu musí být pro danou konverzi benzínu kompenzována změnou nástríku. Na obrázku 1 je znázorněna závislost poměru $F^{(2)}/F^{(1)}$ na $\Delta V_E/V_E^{(1)}$. Vztah (10)



Obr. 1. Závislost relativního nástríku do pece na změně relativního ekvivalentního objemu

může být interpretována jako proporcionalita změny nástríku a změny ekvivalentního objemu reaktoru (pyrolyzí trubky). Sdílejme-li např. nástrík benzínu na 70 % původní (počáteční) hodnoty, ekvivalentní objem reaktoru musí být snížen rovnou na 70 % původní hodnoty, aby se nezměnila konverze benzínu. Toto lze v praxi dosáhnout snížením teploty reakce směsi v trubce pyrolyzí pece nebo snížením celkového tlaku v trubce, anebo současnou změnou obou parametrů.

Definujeme IFP_p (izokonverzní faktor pyrolyzy za konstantní střední tlaku v trubce pyrolyzí pece), který určuje, jaká změna nástríku do pece kompenzuje změnu střední teploty v trubce o 1°C ($\Delta T = 1^\circ\text{C}$):

$$IFP_p = |\Delta m_1 / \Delta T| \quad (11)$$

Analogicky definujeme IFP_T (izokonverzní faktor pyrolyzy za konstantní střední teplotu v trubce pyrolyzí pece), který vyjadřuje, jaká změna nástríku do pece kompenzuje změnu středního tlaku p_t v trubce o 10 kPa ($\Delta p_t = 10 \text{ kPa}$):

$$IFP_T = |\Delta m_1 / \Delta p_t| \quad (12)$$

Numerická hodnota IFP_p nebo IFP_T závisí i na teplotním a tlakovém profilu v trubce. Předpokládáme-li závislosti typické pro trubku průmyslové pyrolyzí pece s kapacitou 25 000 kg h^{-1} , obdržíme vztahy

$$p_t = a_0 - 8,98 \cdot 10^{-2}z - 1,605 \cdot 10^{-2}z^2 \quad (13)$$

$$a_0 = 0,288 \text{ až } 0,318$$

$$T = b_0 + 1016,382z - 1664,443z^2 + 895,481z^3 \quad (14)$$

$$b_0 = 843 \text{ až } 873$$

Volbou parametrů a_0 , b_0 lze volit hodnotu tlaku i teplotu na vstupu i výstupu z trubky pyrolyzí pece. Pro $V_E = 5,64 \text{ m}^3$ a $M = 93,5 \text{ kg kmol}^{-1}$ lze počítat hodnoty V_E/F pro různé hodnoty a_0 , b_0 s využitím substituce $\bar{V} = V_E$, dz .

V tabulce I je uveden výsledek výpočtu ekvivalentního časoprostorového parametru V_E/F . Tlakový profil byl počítán pomocí vztahu (13): $a_0 = 0,318$. Teplotní profil byl počítán podle (14) tak, aby teplota T_{100} dosáhla požadované hodnoty uvedené v tabulce I. Aktivacní energie v těchto výpočtech* činila $E = 220 \text{ kJ} \cdot \text{mol}^{-1}$ ($T_R = 1073 \text{ K}$, $p_R = 0,1 \text{ MPa}$). Numerická integrace Gaussovou metodou byla provedena na počítači WANG 2200 MVP. Viciasobnou lineární regresi pomocí standardního programu na počítači WANG 2200 MVP byl z dat v tabulce I získán vztah

$$V_E/F = -2055,59 - 5,7023 \cdot 10^{-3}m_1 + 3,7947 \text{ COT} \quad (15)$$

$$r = 0,991,$$

Pro IFP_p platí

$$IFP_p (\Delta T = 1^\circ\text{C}) = 2,794 \cdot 5,7023 \cdot 10^{-3} = 489,9 \text{ kg}^{-1}$$

nebo podle vztahu (14) $\Delta T = \Delta T_{\text{COT}}$.

Vypočtené hodnoty IFP pro různé teplotní a tlakové profily v trubce pyrolyzí pece jsou uvedeny v tabulce II, z níž vyplývá, že hodnoty IFP jsou malo závislé na střední hodnotě tlaku, resp. teploty v trubce. Lze uvažovat $IFP_p (\Delta T = 1^\circ\text{C}) \approx 490 \text{ kg}^{-1}$, $IFP_p (\Delta p_t = 10 \text{ kPa}) \approx 900 \text{ kg h}^{-1}$. Z toho pojatého konceptu pyrolyzy uhlodivkové směsi vyplývá nezávislost hodnot IFP na poměru S/O , tj. stejně hodnoty konverze uhlodivkové směsi pro dané poměry S/O lze dosáhnout s využitím jediné hodnoty IFP . Protože však selektivita pyrolyzy podle prav [2,3] mimořádně závisí na parciálním tlaku uhlodivkové směsi v procesní párou, mění se se změnou S/O nejen konverze uhlodivých naftiskrávaných do pyrolyzí pece, ale i selektivita procesu.

Tabulka I

Výsledky výpočtu ekvivalentní časoprostorové souřadnice V_E/F

m_1 [kg h^{-1}]	T_{100} [$^\circ\text{C}$]	V_E/F [$\text{m}^3 \text{s kmol}^{-1}$]
25 000	840	146,8
25 000	830	117,3
25 000	820	93,4
25 000	810	73,9
22 000	840	166,8
22 000	830	133,3
22 000	820	106,1
22 000	810	84,1
19 000	840	193,1
19 000	830	154,4
19 000	820	122,9
19 000	810	97,4

Tabulka II

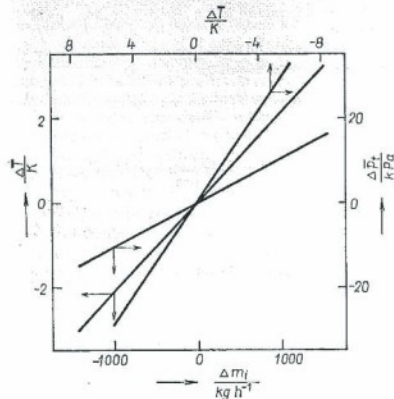
Hodnoty IFP pro průmyslovou pyrolyzí pece

Přísluš. 1	E [K]	a_0 [MPa]	b_0 [K]	IFP_p ($\Delta T = 1^\circ\text{C}$) [kg h^{-1}]	IFP_p ($\Delta p_t = 10 \text{ kPa}$) [kg h^{-1}]
1	220	0,318	835 — 865	489,9	—
2	250	0,318	835 — 865	556,1	—
3	220	0,288	835 — 865	491,4	—
4	220	0,288 — 0,318	865	—	864,2
5	220	0,288 — 0,318	835	—	932,7

Z faktorů IFP_p a IFP_T lze stanovit izokonverzní faktor pyrolyzy za konstantního prosazení IFP_m :

$$\text{IFP}_m (\Delta T = 1^\circ\text{C}) = \text{IFP}_p / \text{IFP}_T = 5,4 \text{ kPa} \quad (16)$$

Po vztahu (16) lze při konstantním průtoku uhlíkovodíku do pyrolyzní peci dosáhnout stejně konverze pyrolyzní reakce uhlíkovodíkové směsi při poklesu střední teploty reakční směsi o 1°C , jestliže zvýšme celkový střední tlak v trubce pyrolyzní peci o 5,4 kPa.



Obr. 2. Souvislost mezi změnou střední teploty ΔT , středním tlakem Δp_t a nášťítku uhlíkovodíků Δm_t pro stejnou konverzi uhlíkovodíků v pyrolyzní peci

Na obrázku 2 jsou vyneseny izokonverzní křivky pro pyrolyzu uhlíkovodíkové směsi, z nichž lze odvodit, jak jednotlivě změny provozních parametrů kompenzovat změnu dalšího parametru tak, aby se nezměnila konverze uhlíkovodíku při pyrolyze. Zvýšení nášťítku uhlíkovodíku může být kompenzováno buď zvýšením teploty, nebo zvýšením tlaku v trubce; zvýšení tlaku lze kompenzovat snížením teploty, nebo zvýšením průtoku; zvýšení teploty je možné kompenzovat zvýšením průtoku uhlíkovodíků, nebo snížením tlaku.

V reálné pyrolyzní peci nelze dosáhnout zcela nezávislého nastavení střední teploty a středního tlaku pyrolyzy. Změnu nášťítku uhlíkovodíku do pyrolyzní peci se změnou střední tlakem i teplotou. Pro požadovanou změnu střední teploty v trubce platí

$$\Delta T = \Delta m_t / \text{IFP}_p - \Delta p_t / \text{IFP}_m \quad (17)$$

a odtud plyne

$$\Delta p_t = \Delta m_t / \text{IFP}_T - \text{IFP}_m \Delta T \quad (18)$$

IFP a energetická náročnost pyrolyzy

Po spotřebu tepla na pyrolyzu uhlíkovodíkové směsi (index 0) v prostředí procesní páry (index S) platí

$$\Delta Q = m_t [c_{p,0}(T_{\text{COT}} - T_0) + H_t + H_v + \dots] + S/O (T_{\text{COT}} - T_S) c_{p,S}] \quad (19)$$

Za předpokladu, že solekvitativitou pyrolyzy je dána konverze uhlíkovodíku při pyrolyze, platí pro stejnou konverzi $H_r \doteq \text{konst}$. Změna teploty T_{COT} o ΔT_{COT} ovlivní spotřebu energie na jednotku nášťítku uhlíkovodíku o hodnotu

$$\Delta Q/m_t = \Delta T_{\text{COT}} (c_{p,0} + S/O c_{p,S}) \quad (20)$$

Za teplotu ΔT_{COT} pro stejnou konverzi uhlíkovodíku do-

sazujeme ΔT za předpokladu, že změna střední teploty v trubce je totouž, než změna teploty na výstupu z trubky peci T_{COT} :

$$-\Delta T = \Delta p_t / \text{IFP}_m \quad (21)$$

$$\Delta T = \Delta m_t / \text{IFP}_p \quad (22)$$

Uvažujeme $c_{p,0} = 3,97 \text{ kJ kg}^{-1}\text{K}^{-1}$, $c_{p,S} = 2,3 \text{ kJ kg}^{-1}\text{K}^{-1}$ pro interval teplot 820 až 830 $^\circ\text{C}$, hodnota $c_{p,0}$ je approximována hodnotou pro heptan⁴, hodnota pro páru je odčtena z tabulek⁵). Při změně teploty T_{COT} o 1°C podle vztahu (20) je změna spotřeby tepla na 1 kg nášťítku uhlíkovodíku při $S/O = 0,5$

$$\frac{\Delta Q}{m_t \Delta T_{\text{COT}}} = 5,12 \text{ kJ kg}^{-1}\text{K}^{-1} \quad (23)$$

Na obrázku 3 je znázorněna závislost $\Delta Q/m_t$ na změně tlaku Δp_t a změně průtoku uhlíkovodíků do pyrolyzy Δm_t při stejně konverzi uhlíkovodíků podle vztahu (21) až (22). Z obrázku 3 je patrné, že snížení tlaku p_t vede ke zvýšení spotřeby energie (křivka 1), snížení prosazení peci za konstantního středního tlaku v trubce (křivka 2) vede k úspore energie při stejně konverzi uhlíkovodíků.

Vliv zakoksovaní trubky pyrolyzní peci na konverzi uhlíkovodíků

V zakoksovávaných trubkách, které mají vlivem koksu usazeného na jejich vnitřních stěnách menší využitelný přířez pro průtok reakční směsi, se změna průtoku Δm_t promítá do změny tlaku Δp_t jiným způsobem než u trubek bez úsad.

Po práci⁶ platí

$$\Delta p_t/\rho = e_{\text{dis}} \quad (24)$$

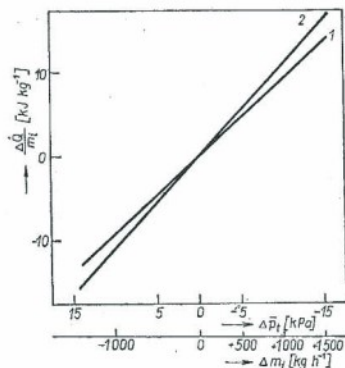
Pro turbulentní proudění je vztah pro hodnotu měrné ztráty e_{dis}

$$e_{\text{dis}} = \lambda \frac{1}{D} \frac{v^2}{2} \quad (25)$$

přičemž λ je tzv. součinitel tření. Protože

$$v = \frac{V}{S} = 4V/\pi D^2 \quad (26)$$

dostaváme po dosazení rovn. (26) do (25) a (24)



Obr. 3. Vliv změny nášťítku uhlíkovodíků Δm_t a změny středního tlaku v trubce Δp_t na změnu relativní spotřeby tepla na jednotku nášťítku uhlíkovodíků

¹ - konstantní průtok uhlíkovodíků, 2 - změna průtoku při konstantním tlaku

$$\frac{\Delta p}{\rho} = \frac{\lambda}{D^4} \frac{4V^2}{\pi} \quad (27)$$

Vztahy (24) až (27) platí pro nestlačitelnou tekutinu. Jejich aplikace na proudění v trubce je proto nevhodná pro přímé výpočty tlakové ztráty v trubce (ρ i V závisí na souřadnicí z). Vztah (27) použijeme pro odhad změny tlakové ztráty Δp v trubce vlivem zakoksování vnitřního povrchu trubek za předpokladu, že profil objemové rychlosti a hustoty média proudícího trubkou na z je konstantní a vrstva koksu je rovnoměrně rozložena podél délkové souřadnice z . Pro $\lambda = \text{konst}$ potom platí

$$\frac{\Delta p_1}{\Delta p_2} = \frac{D_1^4}{D_2^4} \quad (28)$$

přičemž index 1 značí čistou trubku, index 2 trubku zakoksovanou. Změnu tlakové ztráty v zakoksovanej trubce lze odhadnout jako násobek tlakové ztráty v čisté trubce po různé podilu D_2/D_1 . Výsledek výpočtu slouží tabulka III; je z ní patrné, že snížili se vnitřní průměr vlivem koku o 6 %, vzrostlo tlakové ztráta o 36 %. Pravidly výstupní tlak v trubce je tudíž v zakoksovanej trubce při stejném prosazení a stejném teplotním profilu větší střední hodnota tlaku p_2 . Z hlediska konverze uhlíkovodíků je tento jev vše čím méně eliminován snížením ekvivalentního objemu reaktoru (resp. parametru V_B/F), jak rovněž plyne z tabulky III. Tímto rozborom se ukazuje teoretická odvídavostnost vztahu (5) pro výpočet výtečnosti produktů pyrolyzy. Vztahy typu (6) mohou v důsledku výše uvedených vlivů zcela selhat (pro stejný poměr S/O a stejnou teplotu T_{COT} může být na výstupu jiná konverze uhlíkovodíků, a tím i jiná výtečnost produktů pyrolyzy).

Tabulka III

Vliv zanesené trubky pyrolyzné pece na tlakovou ztrátu Δp a na parametr V_B/F

D_2/D_1 a)	Δp_2 b) $k\Delta p_1$	$(V_B/F)_2$ b) $k(V_B/F)_1$
1	1	1
0,98	1,19	0,96
0,96	1,22	0,92
0,94	1,36	0,88

a) indexem 1 jsou značeny hodnoty u čisté trubky, indexem 2 hodnoty u zakoksovanej trubky

b) ve sloupcích jsou uvedeny hodnoty k , kterými je nutno vynásobit hodnoty Δp_1 a $(V_B/F)_1$ u čisté trubky

Praktická část

Měření v pyrolyzní peci

V pyrolyzních pecích byl pyrolyzován benzín se střední molární hmotností $M = 93,5 \text{ kg kmol}^{-1}$ zjistěna na základě chromatografické analýzy. Prosazení pece m_1 činilo 19 200 až 24 000 kg h^{-1} , poměr S/O byl udržován na hodnotě 0,7, výstupní teplota reakční směsi T_{COT} se měnila v rozsahu 810 až 840 °C. Měření probíhalo ve dvou pecích. Pro stanovení konverze benzínu byl použit selektivní koeficient poměru molárních koncentrací ethylenu k propylenu (C_2/C_3) v pyrolyzním plynu opařujícím trubku pyrolyznej pece. Dané hodnoty C_2/C_3 teoreticky odpovídají jediná hodnota konverze benzínu. Z dvanácti experimentů provedených v peci A bylo regresi získáno

$$\begin{aligned} C_2/C_3 &= c_1 - c_2(C_2/C_3)_1 \\ r &= 0,990 \end{aligned} \quad (29)$$

Z dvanácti experimentů v peci B byl regresi získán vztah

$$\begin{aligned} C_2/C_3 &= 1,02 c_1 - c_2(C_2/C_3)_1 \\ r &= 0,991 \end{aligned} \quad (30)$$

kde C_2/C_3 je selektivní koeficient kontrače propylenu k methánu v pyrolyzním plynu. Ze vztahu (29) a (30) lze vyvodit závěr, že poměru C_2/C_3 odpovídá jediná hodnota poměru C_2/C_3 . Malá diference mezi vztahy (29) a (30) je dána zejména chybou měření. Benzín pyrolyzovaný v pecích A a B měl v podstatě shodné složení, pokud jde o obsah parafinů, naftenů a aromatů.

Lineární regresi byl získán pro poměr C_2/C_3 (konverze benzínu), průtok benzínu a T_{COT} v peci A:

$$\begin{aligned} C_2/C_3 &= d_1 - d_2 m_1 + d_3 T_{COT} \\ r &= 0,980 \end{aligned} \quad (31)$$

a v peci B:

$$\begin{aligned} C_2/C_3 &= 1,12 d_1 - 1,68 d_2 m_1 + 0,92 d_3 T_{COT} \\ r &= 0,977 \end{aligned} \quad (32)$$

Ze vztahu (31) a (32) byla určena hodnota IFP pro konstantní poměr C_2/C_3 (konverze) z provozních měření. U peci A činí IFP_p ($\Delta T = 1^\circ\text{C}$) = $d_2/d_3 = 564 \text{ kg}$, u peci B 1029 kg h^{-1} . Protože v reálné pyrolyze peci nebylo možné měřením ověřit celkový střední tlak v trubce, je možné z výsledků stanovené IFP_p v průmyslových pecích usuzovat na hodnotu celkového středního tlaku v trubkách pouze přibližně. Zatímco u peci A se zdá, že tato hodnota se v průběhu měření nemění, došlo u peci B pravděpodobně s poklesem prosazení o 1000 kg h^{-1} k mírněmu poklesu středního tlaku až o 5 kPa . Dosadíme-li do vztahu (22) teoreticky vypočtené hodnoty IFP_p a IFP_m pro daný případ [IFP_p ($\Delta T = 1^\circ\text{C}$) = 490 kg a IFP_m ($\Delta T = 1^\circ\text{C}$) = $5,4 \text{ kPa}$], obdržíme pro ΔT :

$$\Delta T = -1000/490 + 5/5,4 = -1,11^\circ\text{C} \quad (33)$$

tj. při poklesu prosazení o 1000 kg h^{-1} a současném poklesu středního tlaku v trubkách pyrolyznej pece o 5 kPa je pro stejnou konverzi benzínu nutné snížit střední tlápotu v trubce pouze o asi 1°C .

Změna teploty T_{COT} však nemusí odpovídat změně střední teploty ve vlnění. Proto lze rozdíl mezi teoreticky vypočtemenou hodnotou IFP_p a hodnotou zjištěnou ze vztahu (31) a (32) vysvětlovat i tímto vlivem. V každém případě se však ukazuje, že přenos dat mezi jednotlivými pecemi pomocí korelace typu (31), (32) může selhat. Tím více vyniká nutnost korelovat výtečnosti produktů pyrolyzy vztahy typu (5), v nichž vystupují veličiny, které lze ve vztahu k pyrolyznej reakci označit jako primární.

Závěr

Stanovení izokonverzních faktorů pyrolyzy má význam pro pochopení souvislosti mezi rozhodujícimi parametry ovlivňujícími pyrolyznej reakci. Jestliže je pyrolyznej jednotkou provozována s jistými požadavky na konverzi (a tím selektivitu) reakce, a to buď z hlediska požadované plánované produkce olefin, nebo z hlediska optimalizace provozních podmínek včetně energetických nároků na pyrolyzu, je žádoucí dané konverze uhlíkovodíků (benzínu), a tím i selektivitu reakce při daném složení benzínu dosahovat i při

změně prosazení peci. Tyto změny mohou být jednak vyvolány vlivem návaznosti ethylenové jednotky na rafinérské provozy, jednak vznikají v důsledku odoksování trubek peci a oprav peci, čímž se mění využitelný počet pro pyrolyzu daného množství uhlovodíkové suroviny.

Na příkladu primýslových pyrolyzních pecí bylo ukázáno, že je teoreticky nesprávné vytvářet výtečkové modely pecí na základě běžně měřených parametrů pecí, jako T_{opt} , S/O apod. Aplikace teoreticky odůvodněných výtečkových modelů typu vztahu (5) však může narazit na potíže, protože v provozních podmínkách nemusí být všechny hodnoty, požadované pro tyto vztahy, měřeny. Ve reálné pyrolyzní peci může být proto použití modelů výtečkové pyrolyzy typu (31), (32) opodstatněné. Je však nutné mít stále na paměti nepřesnosti při přenosu těchto vztahů mezi jednotlivými pecemi a regresní koeficienty vztahů (31), (32) je nutné průběžně aktualizovat na okamžité stav pyrolyzní peci.

Seznam symbolů

$a_0, a_1, b_0, b_1, c_1, c_2, d_1, d_2, d_3, e, f, g, h$	— regresní koeficienty
c_p	— střední měrná tepelná kapacita [$\text{kJ kg}^{-1} \text{K}^{-1}$]
D	— průměr pyrolyzní trubky [m]
E	— aktivizační energie [kJ mol^{-1}]
e_{kin}	— měrná ztráta mechanické energie v pyrolyzní trubce
F	— nášťit uhlovodíků de pyrolyzní peci [kmol s^{-1}]
H_p	— výpravné teplo [kJ kg^{-1}]
H_T	— reakční teplo [kJ kg^{-1}]
IFP	— izokonverzílní faktor pyrolyzy
l	— délka pyrolyzní trubky [m]
M	— střední molařní hustotnost amoniaku pyrolyzovaných uhlovodíků [kg kmol^{-1}]
m	— hmotnostní průtok uhlovodíků [kg h^{-1}]
p	— tlak [MPa]
P	— parciální tlak [MPa]
Δp	— tlaková ztráta [MPa]
Δp_t	— změna středního tlaku v trubce pyrolyzní peci [kPa]

q	— tok tepia [kJ h^{-1}]
R	— plynová konstanta [$\text{kJ mol}^{-1} \text{K}^{-1}$]
r	— korelační koeficient lineární regrese
s	— standardní chyba odhadu závislosti proměnné v lineární regrese
S/O	— poměr hmotnosti procesní páry k uhlovodíkům [kg kg^{-1}]
S	— průřez trubky pyrolyzní peci [m^2]
S_1	— selektivita pyrolyzy vzhledem k produktu j
T	— teplota [K, resp. °C]
ΔT	— změna středního teploty v trubce pyrolyzní peci [°C]
V	— objemový průtok reakční směsi trubkou pyrolyzní peci [$\text{m}^3 \text{s}^{-1}$]
V_E	— ekvivalentní objem trubek pyrolyzní peci [m^3]
V_0	— celkový objem trubek pyrolyzní peci (m^3)
v	— sřízený rychlosť proudění v trubce [m s^{-1}]
w	— konverze
y	— výtěžek produktu pyrolyzy
z	— bezrozměrná délka součástnice trubky
α	— součinitel tlaci
e	— hustota reakční směsi [kg m^{-3}]
Θ	— doba zdržání reakční směsi v trubce [s]

indexy

CHE	— vystaženo k methanu
COT	— vystaženo k reakční směsi na výstupu z pyrolyzní trubky
i	— vstup
j	— j -tý produkt
o	— výstup
R	— referenční hodnota
t	— vystaženo k trubce

Literatura

- Horák J., Jirásek F., Lazarov A.: Chem. prám. 39, 385 (1980). — 2. VanDamme P. S., Froment G. F., Balthasar W. B.; Ind. Eng. Chem. Proc. Des. Dev. 20, 368 (1981). — 3. Rucka M. J., Martens X. M., Desarnauts J.; Comp. Chem. Eng. 2, 93 (1978). — 4. Kuzmin S. T., Kozlov I. A., Kudrjašov V. P., Kopernickij J., Golik A.: Automatizovannaja sistema upravlenija kryzogennymi proizvodstvom etilena, Chimita, Moskva 1986. — 5. Vargantik N. B.: Spravočnik po teplotofixacijskim svojstvama gazov i židkostej, Nauka, Moskva 1972. — 6. Ríškin S. L., Alexandrov A. A.: Termodynamickije svojstva rodit i vodivogo para, Spravočnik, Energoatomizdat, Moskva 1984. — 7. Mika V.: Základy chemického inženýrství, str. 135, SNTL/ALFA, Praha 1977.

Polarografie chinolinu a některých jeho derivátů

Viktor Mejstřík, Libuše Držková, Zdeněk Šágr, Jiřína Pecková, František Krampera,
Výzkumný ústav organických syntéz, Pardubice-Rybířví

547.831

543.253

Redakce došlo 24. 10. 1987

Práce krátce shrnuje možnosti analýzy chinolinu a některých jeho derivátů. Experimentální část je věnována polarografickému chování těchto láték při technice diferenční pulsni polarografie se zaměřením na analýzu nízkých koncentrací.

Úvod

Jednou z hojně používaných sloučenin v chemickém průmyslu i v laboratoři (komplexotvorné činidlo) je chinolin a jeho deriváty. Radu let je známo, že jede o látky s biologickým působením, které mohou být myiotropickým jedem¹, nebo jsou slabě škodlivé pro kůži. Značně škodlivé jsou pro oči, protože způsobují změny oční čočky a degenerativní změny sítice. Bylo zjištěno, že mají i účinky mutagenní (důkaz byl po-

dán Amesovým testem), pozitivní výsledek byl získán i v pokusech na vyvolání bodových mutací u *Salvinia*^{2,3}. V organismu je látka oxidována na 3'-hydroxychinolin, 2,6-dihydroxychinolin a 5,6-dihydroxychinolin, v játrech se pak mění na 2,3-chinolin-oxiran, který má karcinogenní účinky zjištěny v pokusech u myší a potkanů⁴⁻⁶. Dále bylo zjištěno, že je těž teratogenní pro embrya některých živočichů⁷. Podobné vlastnosti má celá řada láték chinolinové struktury^{8,9}.

Rozbor problému

Z uvedených skutečností, stejně jako z výrobních důvodů, plyne nutnost stanovovat velmi malé koncentrace chinolinu a jeho derivátů v různých materiálech. K tomuto účelu byla vypracována řada metod